

Prawdziwa ortofotomapa



- klasyczna a prawdziwa ortofotomapa
- minimalizacja przesunięć obiektów wystających i martwych pól na klasycznej ortofotomapie
- wpływ rodzaju modelu na wynik ortorektyfikacji budynków
 - strategie opracowania true ortho
 - wady true ortho
 - orto ze zdjęć ukośnych

Kpyka

FC - true ortho

1

Klasyczna i prawdziwa (true) ortofotomapa



Ortofotomapa klasyczna – mapa fotograficzna na której obrazy obiektów tworzących powierzchnię terenu są zrektyfikowane do położenia ortogonalnego (tereny odkryte, drogi, wody)

True ortho (... orthophoto, ...orthophotomap) - prawdziwa ortofotomapa - jest to mapa fotograficzna na której obrazy obiektów leżących na terenie jak i wystających ponad teren są zrektyfikowane do położenia ortogonalnego.

Klasyczna ortofotomapa jest wystarczająca dla terenów niezurbanizowanych lub w obszarach o niskiej zabudowie. W miastach, zwłaszcza w dużych skalach, wiele obszarów jest zakrytych przez „leżące” budynki

Prawdziwa ortofotomapa jest pozbawiona tych wad ale jej opracowanie jest bardziej pracochłonne a przez to droższe.

Rozwiązaniem kompromisowym jest wykonywanie klasycznej ortofotomapy ale z minimalizacją przesunięć radialnych obiektów wystających ponad teren.

Kpyka

FC - true ortho

2

Minimalizacja przesunięć obiektów wystających na klasycznej ortofotomapie



- wykonanie lotu z większej wysokości
- zastosowanie stożka kamery o dłuższej ogniskowej,
- zwiększenie pokrycia podłużnego i poprzecznego i do opracowania stosowanie tylko centralnych fragmentów zdjęć.



$c=300$ mm, $W= 1500$ m



$c=150$ mm, $W= 750$ m

Morten Nielsen, 2004: True orthophoto generation

Kpyka

FC - true ortho

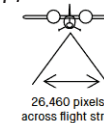
3

Kamery cyfrowe z wymiennymi obiektywami



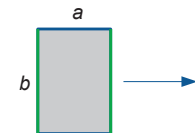
UltraCam Eagle Mark 3 (od 2017)

Pixel = 4µm
Matryca 450 Mpix
 $f = 80, 100, 120, 210$ mm



$a=17004 \cdot 0.004$ mm=68.0 mm
 $b=26460 \cdot 0.004$ mm=105.8 mm

PAN image size	26,460 x 17,004 pixels
PAN physical pixel size	4.0 µm
Color capability (multi-spectral)	4 channels - R, G, B & NIR
Color image size	8,820 x 5,668 pixels
Color physical pixel size	4.0 µm
Pansharpen ratio	1 : 3
Imaging sensor	CCD
Shutter (longlife central leaf)	1/1000 to 1/64
Forward-motion compensation (FMC)	TDI controlled
Maximum FMC capacity	50 pixels
Frame rate (minimum inter-image interval)	1 frame per 1.5 seconds
Dynamic range	> 72 db
Analog-to-digital-conversion at	14 bits



http://www.vexcel-imaging.com/wp-content/uploads/2018/06/1708_UC_Eagle_M3_en.pdf

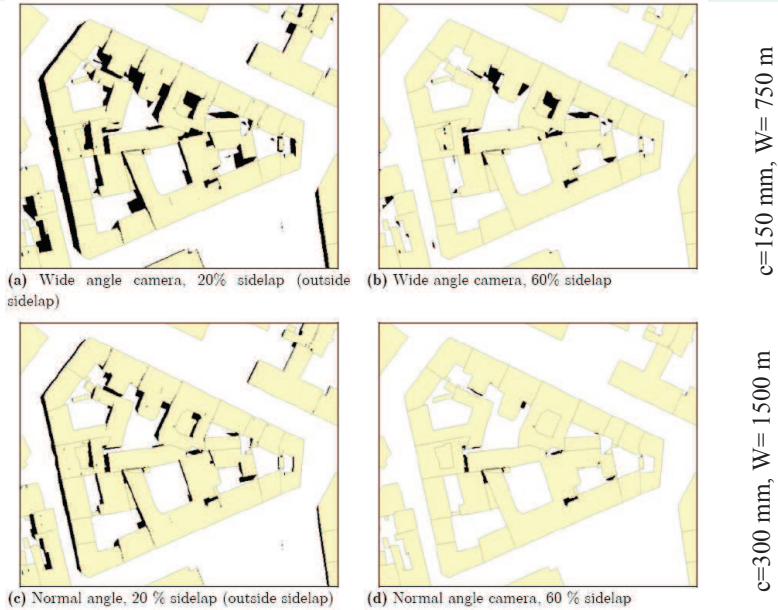
Kpyka

FC - true ortho

4

Minimalizacja martwych pól – zwiększenie pokrycia poprzecznego i podłużnego

Pola martwe w zależności od c, W i pokrycia poprzecznego



Kpyka

FC - true ortho

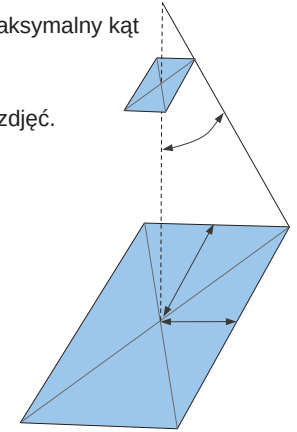
5

Klasyczne orto dla miast

Warunek maksymalnego kąta kładu obiektów wystających: maksymalny kąt pionowy do narożnika obszaru wchodzącego do orto $\leq 20^\circ$

Na tej podstawie oblicza się pokrycie podłużne i poprzeczne zdjęć.

Trzeba uwzględnić parametry wybranej/dostępnej kamery: ogniskowa, piksel matrycy, kadr zdjęcia
 Na podstawie w/w danych obliczyć wysokość W nad terenem.
 Prostokątny kształt kadru powoduje, że na wielkość kąta α decydujący wpływ ma pokrycie poprzeczne.
 Zakłada się podłużne $p=60\%$, co determinuje bazę podłużną.
 Trzeba wyliczyć bazę poprzeczną tak aby był spełniony warunek dla kąta α .
 Baza poprzeczna determinuje pokrycie poprzeczne.

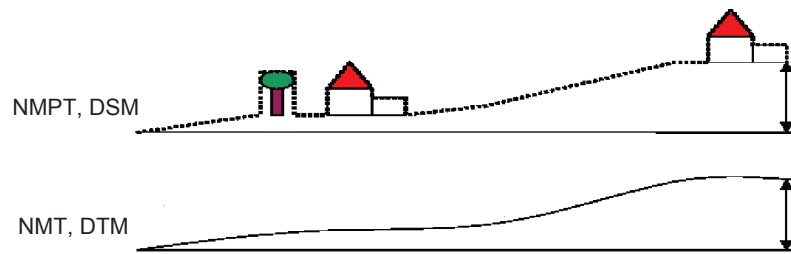


Kpyka

FC - true ortho

6

Wpływ rodzaju modelu na wynik ortorektfikacji



Jeśli użyjemy klasycznej metody opracowania ortofotmapy ale z modelem DSM (zamiast DTM) to w miejscach niewidocznych (zasłoniętych) powstają artefakty .

Przykłady na slajdach 8-16 dotyczą sytuacji gdy oprogramowanie nie analizuje z którego zdjęcia należy przetworzyć określony fragment terenu.

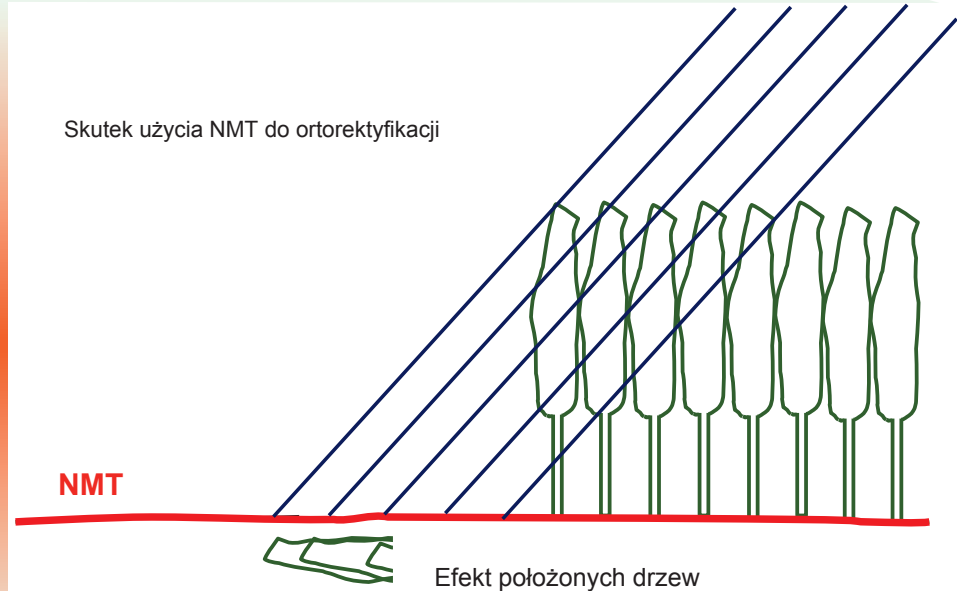
Kpyka

FC - true ortho

7

Wpływ rodzaju modelu na wynik ortorektfikacji

Skutek użycia NMT do ortorektfikacji



Kpyka

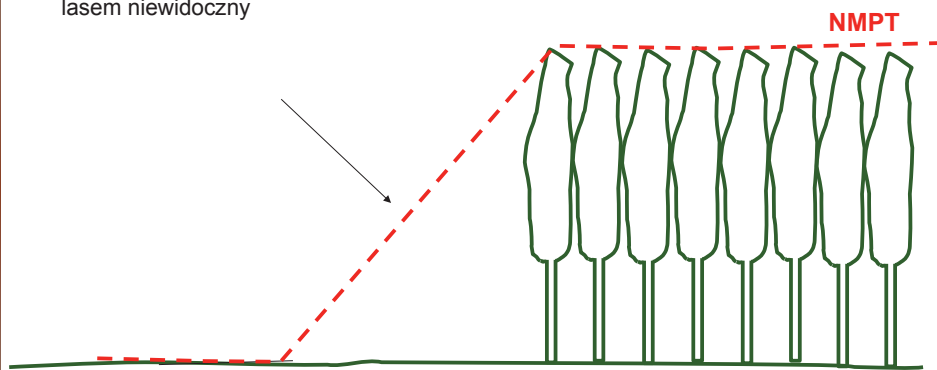
FC - true ortho

8

Wpływ rodzaju modelu na wynik ortorektifikacji



NMPT z pomiaru fotogrametrycznego, wskutek przesłonięcia obszar za lasem niewidoczny



Kpyka

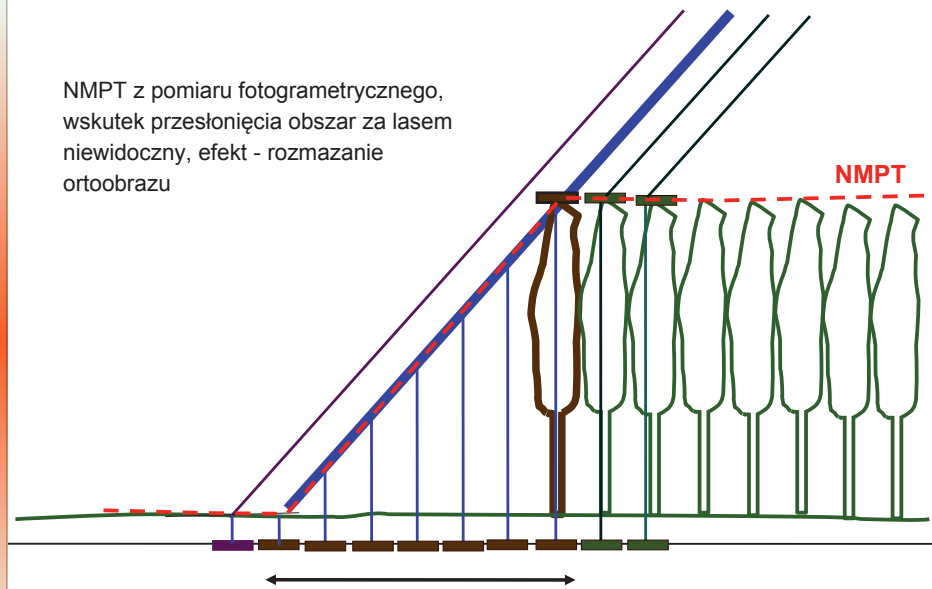
FC - true ortho

9

Wpływ rodzaju modelu na wynik ortorektifikacji



NMPT z pomiaru fotogrametrycznego, wskutek przesłonięcia obszar za lasem niewidoczny, efekt - rozmazanie ortobrazu

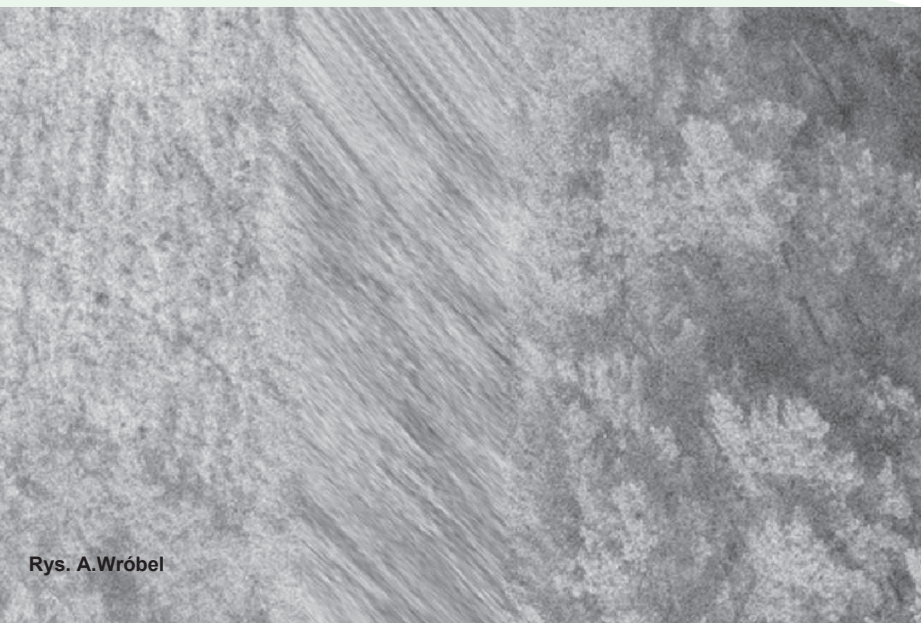


Kpyka

FC - true ortho

Rys. na podstawie A.Wróbel
10

Wpływ rodzaju modelu – „NMPT foto” - rozmazanie



Rys. A.Wróbel

Kpyka

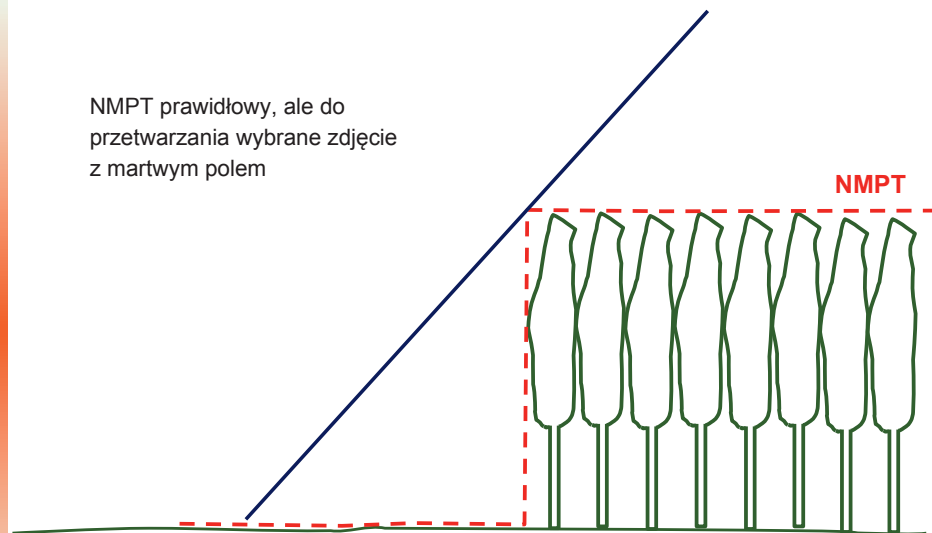
FC - true ortho

11

Wpływ rodzaju modelu na wynik ortorektifikacji



NMPT prawidłowy, ale do przetworzenia wybrane zdjęcie z martwym polem



Kpyka

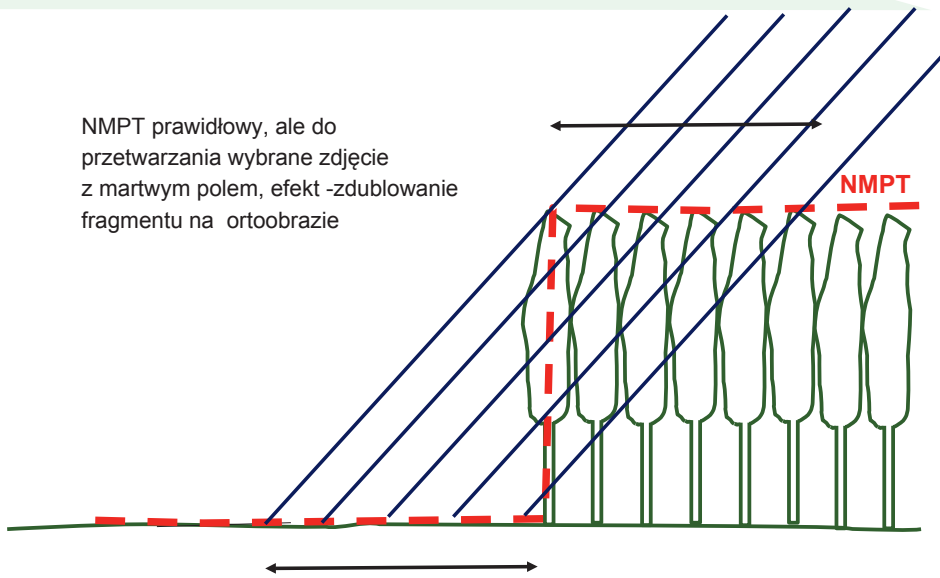
FC - true ortho

12

Wpływ rodzaju modelu na wynik ortorektyfikacji



NMPT prawidłowy, ale do przetwarzania wybrane zdjęcie z martwym polem, efekt -zdublowanie fragmentu na ortoobrazie



Kpyka

FC - true ortho

13

Wpływ rodzaju modelu – NMPT - zdublowanie

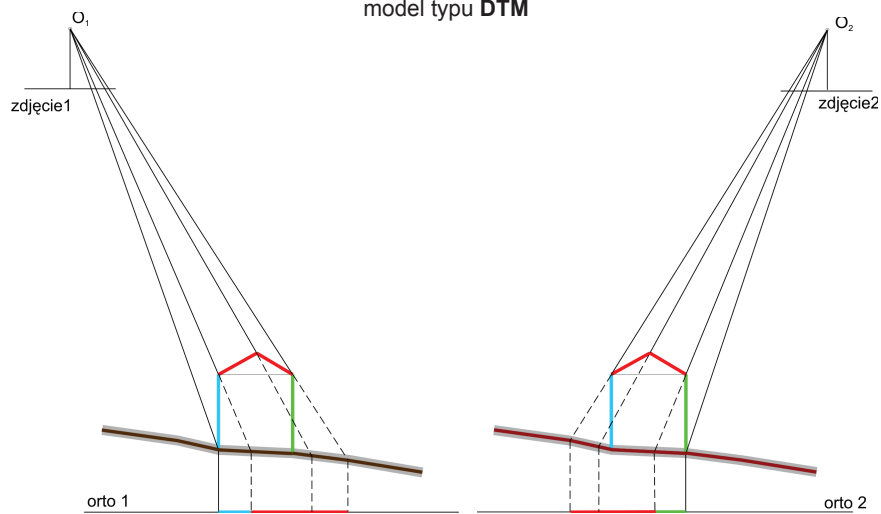


Rys. A.Wróbel

Wpływ rodzaju modelu na wynik ortorektyfikacji budynków



Klasyczna ortorektyfikacja model typu **DTM**



Kpyka

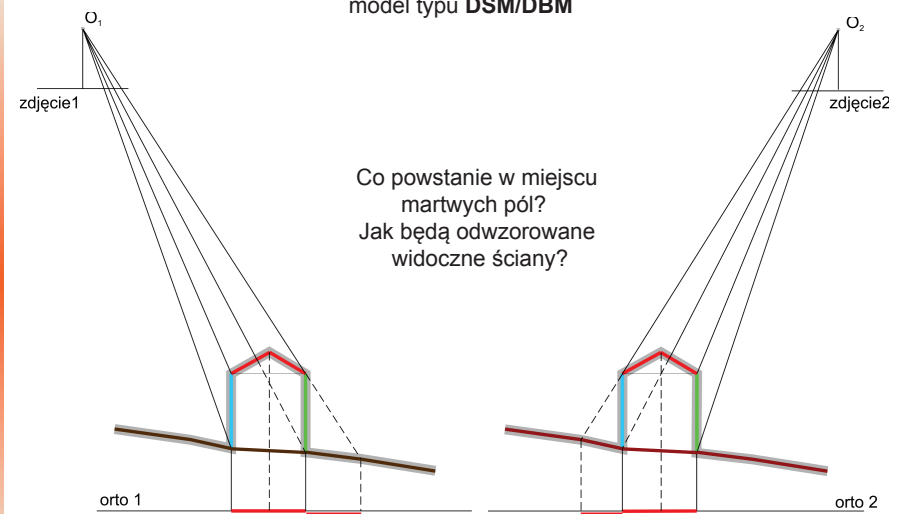
FC - true ortho

15

Wpływ rodzaju modelu na wynik ortorektyfikacji budynków



Klasyczna ortorektyfikacja model typu **DSM/DBM**



Kpyka

FC - true ortho

16



Zastąpienie modelu typu NMT przez NMPT nie rozwiązuje problemu uzyskania true ortho - w miejscach przesłoniętych powstają artefakty.

Trzeba zidentyfikować miejsca które nie odfotografowały się na danym zdjęciu (ortobrazie) i znaleźć zdjęcie na którym miejsce jest widoczne. Następstwem jest uzupełnienia małych fragmentów z innych ortobrazów.

Takie postępowanie wymaga:

- DSM o b. wysokiej rozdzielczości powstałego z gęstej chmury punktów. lub
- modelu wektorowego obiektów wystających

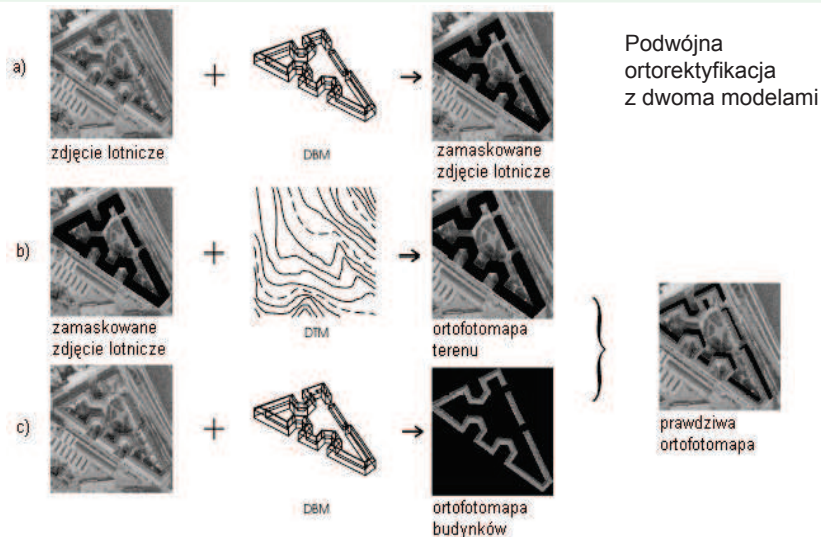


Podwójna ortorektifikacja z dwoma modelami

- pierwsza ortorektifikacja - same budynki, model DBM (wektorowy, zawierający tylko budynki), obszary poza budynkami nie są przetwarzane, wszystkie piksele zdjęcia które brały udział w procesie tworzą maskę dla drugiej ortorektifikacji (maska-obraz roboczy o rozmiarach zdjęcia, zawiera piksele wykorzystane na tym etapie)
- druga ortorektifikacja - model DTM, piksele zdjęcia leżące wewnątrz są wyłączone z przetwarzania („za budynkami” powstaje martwe pole)
- nałożenie obu ortobrazów

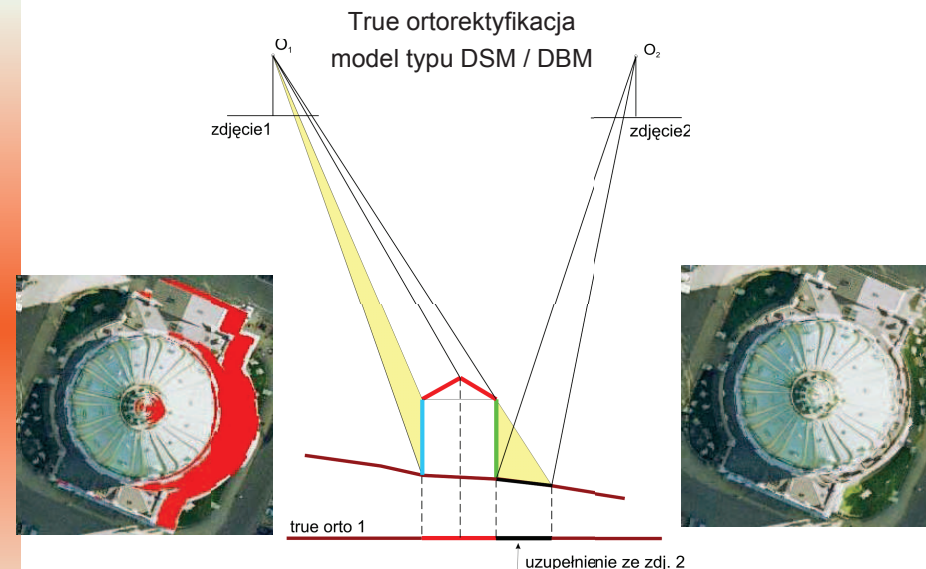
Metoda może być stosowana dla terenów o rzadkiej, pojedynczej, niewysokiej zabudowie (budynki nie przesłaniają się wzajemnie)

Podwójna ortorektifikacja z dwoma modelami



na podstawie Amhar i inni, 1998.

Zaawansowane metody opracowania true orto





Zaawansowane opracowanie true ortho wymaga :

- wykrywania martwych pól na ortobrazach
- wypełniania tych pól teksturą z innego ortobrazu (innych ortobrazów)

Wykrywanie martwych pól metodą Z-bufora

a. Z-bufor prosty, model DSM lub wektorowy (DBM)

b. Z-bufor złożony, model wektorowy (DBM)

Z-bufor to tablica pikseli o wymiarach identycznych jak zdjęcie, w której wartościami pikseli są odległości środka rzutów do punktów DSM wzdłuż promieni rzutowania;

Na początku procesu wszystkie piksele mają jedną wartość inicjalną (np. 100000), która, jeśli się nie zmieni w trakcie generowania to będzie oznaczała martwe pole



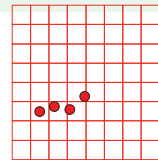
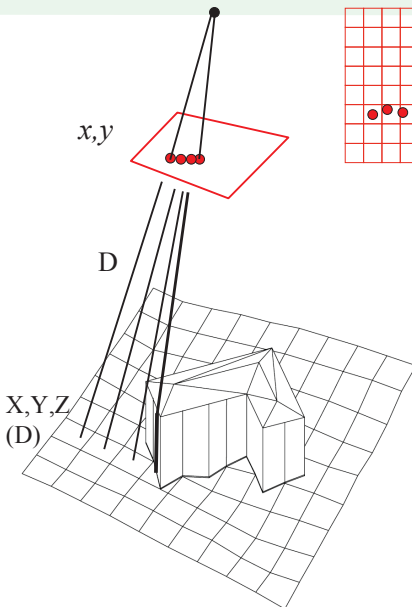
- Ortorektifikacja (wstecz) poprzedzona jest wygenerowaniem Z-bufora na podstawie DSM i EOZ,
- dla każdego pikselu obrazu wynikowego o wsp. X,Y + Z (z DSM) są obliczane (z krokiem PX):

odległość do środka rzutów zdjęcia: $D_i = \sqrt{(X_i - X_o)^2 + (Y_i - Y_o)^2 + (Z_i - Z_o)^2}$

wsp. x,y na zdjęciu: $x_i = -c \frac{r_{11}(X_i - X_o) + r_{21}(Y_i - Y_o) + r_{31}(Z_i - Z_o)}{r_{13}(X_i - X_o) + r_{23}(Y_i - Y_o) + r_{33}(Z_i - Z_o)}$

$y_i = -c \frac{r_{12}(X_i - X_o) + r_{22}(Y_i - Y_o) + r_{32}(Z_i - Z_o)}{r_{13}(X_i - X_o) + r_{23}(Y_i - Y_o) + r_{33}(Z_i - Z_o)}$

a. Z-bufor prosty



Na drodze resamplingu on-line (metodą najbliższego sąsiada) tablica Z-bufor jest wypełniana wartościami D, obliczanymi dla każdego pikselu

Jeśli po raz drugi próba wpisania D do tego samego pikselu to:

- gdy nowe D jest mniejsze od już wpisanego – zostanie wpisane
- w przeciwnym wypadku pozostanie poprzednia wartość

ortorektifikacja:

$(X,Y,Z) \rightarrow (x,y) \rightarrow (r,c)$

- gdy $D > Z(r,c)$ – pole martwe
- gdy $D = Z(r,c)$ – pobranie jasności

powstaje maska martwego pola

b. Z-bufor złożony (ZI-bufor)



Metoda wymaga wektorowego modelu budynków (DBM)

- Ortorektifikacja (wstecz) poprzedzona jest wygenerowaniem Z-bufora liczonego na podstawie DTM, DBM, EOZ
- dla każdego węzła DBM o wsp. X,Y,Z oraz dla siatki DTM (X,Y + Z) są obliczane:

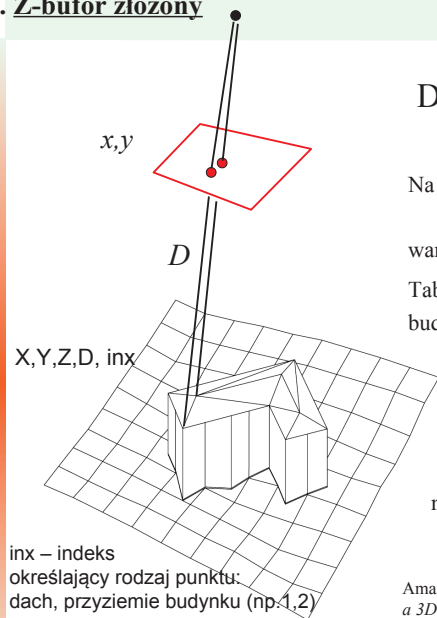
odległość do środka rzutów zdjęcia: $D_i = \sqrt{(X_i - X_o)^2 + (Y_i - Y_o)^2 + (Z_i - Z_o)^2}$

wsp. x,y na zdjęciu: $x_i = -c \frac{r_{11}(X_i - X_o) + r_{21}(Y_i - Y_o) + r_{31}(Z_i - Z_o)}{r_{13}(X_i - X_o) + r_{23}(Y_i - Y_o) + r_{33}(Z_i - Z_o)}$

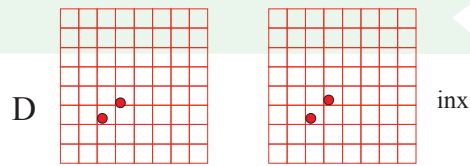
$y_i = -c \frac{r_{12}(X_i - X_o) + r_{22}(Y_i - Y_o) + r_{32}(Z_i - Z_o)}{r_{13}(X_i - X_o) + r_{23}(Y_i - Y_o) + r_{33}(Z_i - Z_o)}$

oraz są przechowywane indeksy odróżniające punkty (piksele) z DBM i DTM

b. Z-bufor złożony



inx – indeks określający rodzaj punktu: dach, przyziemie budynku (np. 1,2)



Na drodze resamplingu powstają dwie tablice:
Z-bufor i tablica indeksów
wartości pikseli → D wartości pikseli → inx
Tablice w pierw wypełnione są „wyspowo” (tam gdzie są budynki), potem uzupełnione o punkty terenu (siatka)

ortorektyfikacja:
 $(X, Y, Z) \rightarrow (x, y) \rightarrow (r, c)$
gdy $D > Z(r, c)$ – pole martwe
gdy $D = Z(r, c)$ – pobranie jasności
nie ma interpolacji pomiędzy pixelami należącymi do obiektów różnego typu – decyduje inx

Amar F, Jansa J., Rias C. 1998: *The generation of true orthophotos using a 3D building model in conjunction with a conventional DTM*. ISPRS, Vol. 32, Part 4 “GIS-Between Visions and Applications”, Stuttgart

Kpyka

FC - true ortho

25

Strategia opracowania true orto z wykorzystaniem Z-bufora prostego

- gęstość DSM powinna być na poziomie pikseli tworzonej ortofotomapy
- rozciągnięcie poligonów Woronoi-a na siatce punktów złożonych ze środków rzutów (2D); poligon ogranicza powierzchnię ortobrazu do części środkowej; boki poligonów są liniami łączenia
- wygenerowanie wszystkich ortobrazów w granicach poligonu Woronoi-a, każdy ortobraz ma zaznaczone martwe pola (wartości 255)
- uzupełnienie martwych pól ortobrazu „i”:
a) sprawdzenie na których ortobrazach sąsiednich martwe pole jest pokryte treścią
b) jeśli jest na więcej niż jednym – pobranie treści (tekstury) z tego które leży pod mniejszym kątem względem osi kamery
c) jeśli martwe pole nie jest pokryte w całości na żadnym z sąsiednich ortobrazów wówczas jest uzupełniane kawałkami z kilku ortobrazów
d) jeśli mimo tego nie da się znaleźć tekstury – pozostanie biała plama chyba że zezwoli się na „zalewanie tych dziur poprzez interpolację
- Sklejenie ortobrazów po arbitralnych liniach mozaikowania (punkt wyjścia poligony Woronoi-a

Kpyka

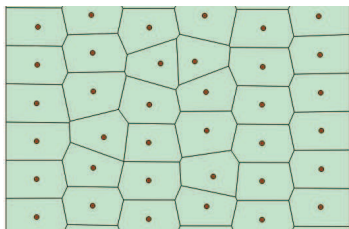
FC - true ortho

26

Wykorzystanie diagramu Woronoi

Zasada mozaikowania:

- udział ortobrazu w mozaice wyznacza podział obszaru wg diagramu Woronoi, (tesselacji Dirichleta)
- boki poligonów są liniami mozaikowania



dla danego zbioru n punktów, dzieli się płaszczyznę na n obszarów, w taki sposób, że każdy punkt w dowolnym obszarze znajduje się bliżej określonego punktu ze zbioru n punktów, niż od pozostałych $n - 1$ punktów

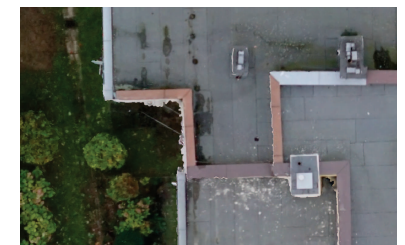
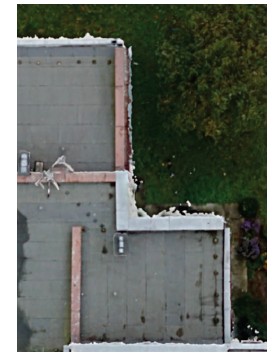
Kpyka

FC - true ortho

27

Wady true orto (z punktu widzenia wysokiej fotogrametrii)

- wysokie koszty opracowania, główny powodem jest koszt wygenerowania gęstej chmury punktów (gdy DSM) lub modelu wektorowego (DBM)
- przy krawędziach budynków, od strony zewnętrznej, powstają artefakty (dotyczy ortorektyfikacji na DSM)
- w terenach wiejskich nie wnosi znaczących korzyści w stosunku do klasycznej ortofotomapy
- w terenach miejskich o gęstej zabudowie bardziej przydatne są modele wektorowe 3D opracowane na podstawie ALS



Kpyka

FC - true ortho

28



NMT / DTM

Zalety

- know how
- niski koszt NMT w tym możliwość wykorzystania NMT z ALS
- jakość bliska zdjęciom
- zachowanie prostoliniowych krawędzi budynków

Wady

- pracochłonny etap trasowania linii mozaikowania,
- przesunięcia radialne obiektów wystających, łamanie perspektywy
- przesłonięcia za budynkami

NMPT / DSM

Zalety

- powstaje quasi true ortho
- wysoki stopień automatyzacji

Wady

- wysoki koszt NMPT
- artefakty na krawędziach budynków

DTM + DBM

Zalety

- powstaje true ortho dla budynków

Wady

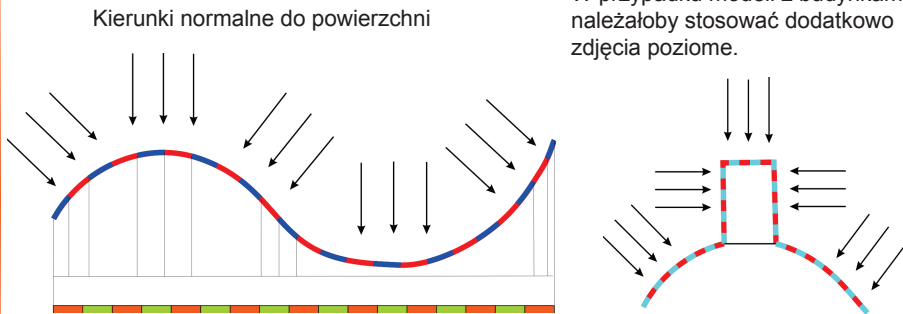
- wysoki koszt DBM – wektoryzacja stereo lub z ALS

Tomasz Nowak,
praca magisterska,
AGH, GiFT, 2006



Prawdziwa ortofotomapa opracowana przy pomocy Terra Solid

Z teoretycznego punktu widzenia dla potrzeb modeli 3D z teksturą fotograficzną potrzebna jest seria rzutów ortogonalnych na płaszczyzny styczne do powierzchni (promienie wzdłuż normalnych do powierzchni).



W przypadku modeli z budynkami należałoby stosować dodatkowo zdjęcia poziome.

W praktyce wykonuje się zdjęcia pionowe i ukośne pod kątem 45°

Zdjęcia ukośne

Pictometry - technologia rozwijana od 2000 r. polegająca na:

- wykonywaniu zdjęć lotniczych w pięciu kierunkach: nadir + cztery wychylenia boczne,
- opracowaniu modelu 3D z teksturą fotograficzną.

Celem jest głównie atrakcyjny model 3D, dokładność na drugim miejscu (rzędu 2-3 m)

Rozwiązanie alternatywne

- wykonywanie (zamiast modelu 3D) ortomozajek, osobno ze zdjęć pionowych i ukośnych z 4 kierunków





Ortomozajki x5

Kpyka

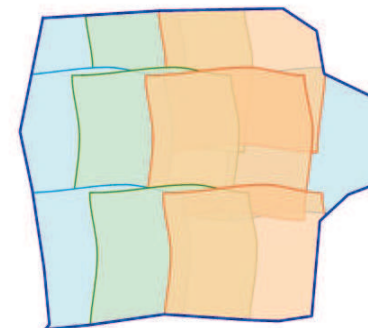
FC - true ortho

33

Ortomozajka



Ortomozajka to połączone orto-obrazy z dowolnym kadrowaniem, wynikającym ze specyfiki projektu, np:
 opracowanie pełnego obszaru administracyjnego (gmina, dzielnica)
 opracowanie obszaru mapy dla celów projektowych



Kpyka

FC - true ortho

34



Kpyka

FC - true ortho

36